

Curve sulle superfici

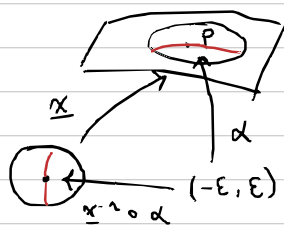
Vogliamo mostrare che $T_p S$ è esattamente l'insieme delle velocità in p al variare delle curve $\alpha: I \rightarrow S$ passanti per p .

Se \underline{x} è una par. reg. intorno a $p \in S$, preso $\underline{v} = \lambda \underline{x}_u + \eta \underline{x}_v$,
se ha $\underline{v} = \underline{x}_{(\lambda, \eta)}$ Presa dunque α che localmente su S è $\underline{x}(\underline{x}^{-1}(p) + t(\lambda, \eta))$, la velocità in p di α è esattamente \underline{v} .

Dobbiamo mostrare ora che ogni velocità in p di una curva $\alpha: I \rightarrow S$ (passante per p) sta in $T_p S$. Wlog $\alpha(0) = p$.

A patto di scegliere ϵ suff. piccolo, $\beta = \alpha|_{(-\epsilon, \epsilon)}$ ha il supporto contenuto nell'immagine di una param. reg. \underline{x} intorno a p .

Si ha dunque $\alpha(t) = \underline{x}(u(t), v(t))$ in $(-\epsilon, \epsilon)$ con $u(t), v(t) \in C^\infty$ ($\underline{x}^{-1} \circ \alpha$ è C^∞). Allora:



$$\begin{aligned}\alpha'(t) &= [\underline{x}_u \quad \underline{x}_v] \begin{pmatrix} u' \\ v' \end{pmatrix} = \\ &= u'(t) \underline{x}_u(u(t), v(t)) + v'(t) \underline{x}_v(u(t), v(t)) \\ \Rightarrow \alpha'(0) &= u'(t) \underline{x}_u(p) + v'(t) \underline{x}_v(p) \Rightarrow\end{aligned}$$

$$\Rightarrow \alpha'(0) \in T_p S$$

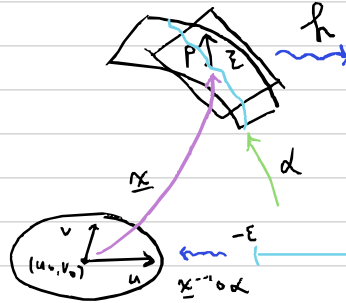
Mettendo tutto insieme si ottiene:

$$T_p S = \{ \alpha'(0) \mid \alpha: (-\epsilon, \epsilon) \rightarrow S \text{ t.c. } \alpha(0) = p, \alpha \text{ curva} \}$$

Operatore forma

Vogliamo studiare in modo analitico le forme locali di $S \subseteq \mathbb{R}^3$.

Def. $f: S \rightarrow \mathbb{R}^3$ si dice C^∞ se $\forall \underline{x}$ param reg. locale
 $f \circ \underline{x}$ è C^∞ .



Vogliamo definire la derivata in direzione $\xi \in T_p S$ di $f: S \rightarrow \mathbb{R}^3$. L'idea è che vogliamo "spostarsi di poco" in direzione ξ da p .

Preso $d: (-\epsilon, \epsilon) \rightarrow S$ con $d(0) = p$ e $d'(0) = \xi$, "d si muove localmente in direzione ξ " intorno a 0 e quindi $f \circ d$ localmente catturerà f "muovendosi in direzione ξ da p " intorno a 0. E' naturale dunque definire $D_\xi f(p)$ come:

$$D_\xi f(p) \triangleq (f \circ d)'(0) \in \mathbb{R}^3.$$

Dimostriamo che $D_\xi f(p)$ dipende solo da f e ξ . Sia $\underline{x}: U \rightarrow S$ parametr. regol. intorno a p . Sia $\underline{x}^{-1} \circ d = (\underline{u}(t), \underline{v}(t))$. Allora:

$$\begin{aligned}
 (*) \quad (f \circ d)'(0) &= [(f \circ \underline{x}) \circ (\underline{u}(t), \underline{v}(t))]'(0) = \\
 &= \underline{u}'(0) \cdot (f \circ \underline{x})_u(p) + \underline{v}'(0) \cdot (f \circ \underline{x})_v(p).
 \end{aligned}$$

word. in U = ξ
 di ξ fissato

$$\left(\begin{array}{c} \underline{u}'(0) \\ \underline{v}'(0) \end{array} \right) = \sum_{e \in \{x,y,z\}} \underline{x}_e^{-1}(p) \cdot (d'(0))_e$$

Da (*) si deduce subito che $(f \circ \underline{x})'(0)$ non dip. dalla scelta della curva; inoltre, il membro a destra è invariante alla scelta di \underline{x} , dipendendo da d . Quindi $D_\xi f(p)$ è ben definita ed è anche lineare nella scelta della direzione (sempre grazie a (*)).

$$\rightsquigarrow \text{in generale, } D_{\xi} f(p) = D_{x^{-1}(p)}(f \circ x)(x^{-1}(p)).$$

Ricordiamo che ogni superficie è localmente orientabile, dato che ogni param. reg. induce superfici orientabili.

Sia $\alpha : (-\varepsilon, \varepsilon) \rightarrow S$ con $\alpha(0) = p$ e $\alpha'(0) = \xi$. Se $m : A \rightarrow \mathbb{R}^3$ è una normale continua $d: S$ intorno a p , allora:

che esiste sempre,

essendo S loc. orient.

$$m(\alpha(t)) \cdot m(\alpha(t)) = 1 \implies$$

$$\implies 2((m \circ \alpha)'(t) \cdot m(\alpha(t))) = 0 \implies$$

$$\implies D_{\xi} m(p) \cdot m(p) = 0 \implies$$

$$\implies D_{\xi} m(p) \in ((T_p S)^{\perp})^{\perp} = T_p S.$$

Quindi: $\xi \mapsto D_{\xi} m(p)$ è un endomorfismo di $T_p S$.

Def. Si chiama **OPERATORE FORMA** l'endomorfismo $S_p : T_p S \rightarrow T_p S$ t.c. $S_p(\xi) \triangleq -D_{\xi} m(p)$ con m normale fissata continua intorno a p . (Al più varia di un segno cambiando normale)

Esempio. (sfera)

Consideriamo la sfera $\Sigma_r = \{x^2 + y^2 + z^2 = r^2\}$. Una normale è data da $\nabla_p f = \underline{l}(x, y, z) \rightsquigarrow m(p) = p / \|p\| = p / r$.

Sia $\alpha : (-\varepsilon, \varepsilon) \rightarrow \Sigma_r$ con $\alpha(0) = p$ e $\alpha'(0) = \xi$, allora:

$$S_p(\xi) = -D_{\xi} m(p) = -(\underline{m} \circ \alpha)'(0) = -\frac{1}{r} \alpha'(0) = -\frac{1}{r} \xi.$$

$(\underline{m} \circ \alpha)'(t) =$
 $= \alpha'(t) / \|\alpha(t)\| =$
 $= \alpha'(t) / r$

Quindi: $S_p = -\frac{1}{r} \text{id.}$

Prop. Sp è autoaggiunto ($\text{Sp}(\xi) \cdot p = \xi \cdot \text{Sp}(p) \quad \forall \xi, p \in T_p S$)

Sia x par. reg. di S int. a p . Mostriamo la tesi per la base $\{\underline{x}_u(p), \underline{x}_v(p)\}$, da cui ne deriviamo poi la validità per TUTTO $T_p S$.

$$\begin{cases} \underline{m}(\underline{x}(u, v_0)) \cdot \underline{x}_v(u, v_0) = 0 & \frac{d}{du}|_{u=u_0} \\ \underline{m}(\underline{x}(v, u_0)) \cdot \underline{x}_u(u_0, v) = 0 & \frac{d}{dv}|_{v=v_0} \end{cases} \Rightarrow \begin{cases} D_u \underline{m}(p) \cdot \underline{x}_v(p) + \underline{m}(p) \cdot \underline{x}_{vu}(p) = 0 & (\star) \\ D_v \underline{m}(p) \cdot \underline{x}_u(p) + \underline{m}(p) \cdot \underline{x}_{uv}(p) = 0 & \end{cases}$$

Dal Teo. di Schwarz, $\underline{x}_{uv}(p) = \underline{x}_{vu}(p)$, quindi, da (\star) :

$$-D_u \underline{m}(p) \cdot \underline{x}_v(p) = -D_v \underline{m}(p) \cdot \underline{x}_u(p) \Rightarrow$$

$$\Rightarrow \text{Sp}(\underline{x}_u(p)) \cdot \underline{x}_v(p) = \underline{x}_u(p) \cdot \text{Sp}(\underline{x}_v(p)). \quad \square$$

→ applicando un ragionam. analogo a quello usato per ricavare (\star) si ottiene infine il seguente sistema d. identità:

$$\begin{cases} \text{Sp} \underline{x}_u(p) \cdot \underline{x}_u(p) = \underline{m}(p) \cdot \underline{x}_{uu}(p) \\ \text{Sp} \underline{x}_v(p) \cdot \underline{x}_v(p) = \underline{m}(p) \cdot \underline{x}_{vv}(p) \\ \text{Sp} \underline{x}_u(p) \cdot \underline{x}_v(p) = \underline{m}(p) \cdot \underline{x}_{uv}(p) \end{cases} \quad (\square)$$

Definiamo adesso alcuni oggetti che ci permetteranno di calcolare ugualmente Sp .

Def. Sia $S \subseteq \mathbb{R}^3$ superficie. La famiglia dei prodotti scalari sui vari $T_p S$ $\{I_p : T_p S \times T_p S \rightarrow \mathbb{R} \mid I_p(v, w) = v \cdot w\}$ e' detta **I° FORMA FONDAMENTALE**.

→ ricordiamo che, grazie alla regolarità delle param reg., data x par. reg. intorno a $p \in S$, $\underline{x}_u(p)$ e $\underline{x}_v(p)$ formano una base di $T_p S$. In Tale base I_p assumerà una forma matriciale:

$$I_p = \underline{x}_u \begin{pmatrix} \underline{x}_u & \underline{x}_v \\ E & F \\ \underline{x}_v & G \end{pmatrix},$$

dove $E = \underline{x}_u(p) \cdot \underline{x}_u(p) = \|\underline{x}_u(p)\|^2$, $F = \underline{x}_u(p) \cdot \underline{x}_v(p)$ e
 $G = \underline{x}_v(p) \cdot \underline{x}_v(p) = \|\underline{x}_v(p)\|^2$.

→ anche S_p avrà una forma matriciale:

$$S_p = \begin{matrix} \underline{x}_u & \left(\begin{matrix} a & c \\ b & d \end{matrix} \right) \\ \underline{x}_v & \end{matrix}$$

$\begin{bmatrix} S_p \underline{x}_u \\ S_p \underline{x}_v \end{bmatrix}$

Def. Sia $S \subseteq \mathbb{R}^3$ superficie. La famiglia dei prodotti scalari:
 $\{\mathbb{I}_p : T_p S \times T_p S \rightarrow \mathbb{R} \mid \mathbb{I}_p(v, w) = \mathbb{I}_p(S_p v, w) = S_p v \cdot w\}$ è
detta **II^a FORMA FONDAMENTALE**.

→ pure \mathbb{I}_p avrà una forma matriciale:

$$\mathbb{I}_p = \begin{matrix} \underline{x}_u & \begin{matrix} \underline{x}_u & \underline{x}_v \\ l & m \\ m & m \end{matrix} \\ \underline{x}_v & \end{matrix},$$

\mathbb{I}_p è un prod. scal.
daccché S_p è
autoaggiunto

dove $l = S_p \underline{x}_u(p) \cdot \underline{x}_u(p)$, $m = S_p \underline{x}_u(p) \cdot \underline{x}_v(p)$ e
 $m = S_p \underline{x}_v(p) \cdot \underline{x}_v(p)$. Da (□) quindi ricaviamo che:

$$\begin{cases} l = \underline{m}(p) \cdot \underline{x}_{uu}(p) \\ m = \underline{m}(p) \cdot \underline{x}_{uv}(p) \\ m = \underline{m}(p) \cdot \underline{x}_{vv}(p) \end{cases}$$

Osserviamo che $\mathbb{I}_p(v, w) = \mathbb{I}_p(S_p v, w) \Rightarrow$
 $\Rightarrow [v]^T \mathbb{I}_p [w] = [v]^T \mathbb{I}_p S [w]$.

Quindi:

$$\mathbb{I}_p = \mathbb{I}_p \cdot S$$

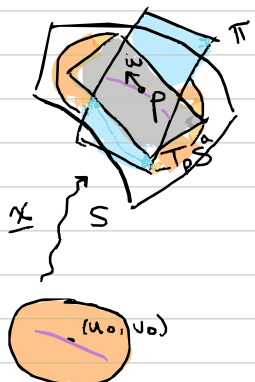
Inoltre $\det(\mathbb{I}_p) = \|\underline{x}_u(p)\|^2 \|\underline{x}_v(p)\|^2 - (\underline{x}_u(p) \cdot \underline{x}_v(p))^2 \neq 0$ per Cauchy-Schw.,
daccché \underline{x}_u e \underline{x}_v sono lin. indip. Dunque \mathbb{I}_p è invertibile e...

$$S = \mathbb{I}_p \cdot \mathbb{I}_p^{-1}$$

In particolare $\det(S) = (lm - m^2) / (EG - F^2)$.

Interpretazione geometrica dell'operatore forma

Cerchiamo innanzitutto quando un piano π passante per $p \in S$ intersecato a S dà luogo, almeno localmente, a una curva regolare.



Sia dunque $\pi \subseteq \mathbb{R}^3$ un piano affine di eq. $(a, b, c) \cdot x = d$ passante per $p \in S$. Sia $\underline{x}: U \rightarrow S$ una par. reg. intorno a $p \in S$.

Sia $f(u, v) = (a, b, c) \cdot \underline{x}(u, v)$. Allora $\underline{x}^{-1}(\pi \cap S) = \{ \underbrace{f(u, v)}_{C^\infty} = d \}$.

Osserviamo che:

$$\begin{cases} f_u(u_0, v_0) = (a, b, c) \cdot \underline{x}_u(u_0, v_0) \\ f_v(u_0, v_0) = (a, b, c) \cdot \underline{x}_v(u_0, v_0) \end{cases}$$

Quindi se $(f_u, f_v)(u_0, v_0) \neq 0$ ($\Leftrightarrow (a, b, c) \notin \text{span}(\underline{m}(p)) \Leftrightarrow \pi \neq T_p S^a \stackrel{\Delta}{=} p + T_p S$), $\underline{x}^{-1}(\pi \cap S)$ è un grafico (per il Teo. della funz. implicita)

attorno a (u_0, v_0) , ossia — ponendo wlog $f_v(u_0, v_0) \neq 0$ — $\underline{x}^{-1}(\pi \cap S)$ è localm. param. intorno a (u_0, v_0) come $(u, g(u))$ con $g \in C^\infty$. Quindi $\pi \cap S$ è loc. par. come $\alpha(t) = \underline{x}(t, g(t))$. ($\alpha|_{U_0} = \rho$)

$\rightarrow \alpha'(t) = \underline{x}_u(t, g(t)) + g'(t) \underline{x}_v(t, g(t)) \neq 0$, dunque α è regolare!

\downarrow lin. ind. \downarrow

Possiamo riassumere la discussione in:

A patto che $\pi \neq T_p S^a$ ($\stackrel{\Delta}{=} p + T_p S$), $\pi \cap S$ è parametrizzata come curva regolare intorno a p .

Supponiamo wlog α p.l.a. Sia $\alpha'(S_0) = w$ (unitario, essendo α p.l.a.)

$$\underline{m}(\alpha(S)) \cdot \alpha'(S) = 0 \quad \xrightarrow{\frac{d}{ds}|_{S=S_0}} \quad S_p w \cdot w = \underline{m}(p) \cdot \underline{\alpha''(S_0)}$$

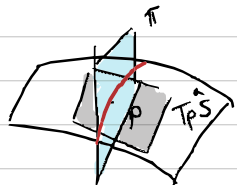
La quantità a destra allora non dipende da α , ma solo da w , ed è detta $K_m(p, w)$, la CURVATURA NORMALE IN p NELLA DIREZIONE w .

Dacché dipende solo da w , possiamo scegliere π in modo che $\underline{m}(p) \parallel T'(S_0)$, scegliendo proprio $(a, b, c) \in T_p S$ $\in w^\perp$ (così $\text{gjac}_{\underline{w}}(\pi) = T_p S^\perp \ni \underline{m}(p)$).

In tal caso, allora:

$$K_m(p, w) = \underline{m}(p) \cdot T'(S_0) = \underbrace{\|\underline{m}(p)\|}_{=1} \underbrace{\|T'(S_0)\|}_{=\kappa_\alpha(p)} = \kappa_\alpha(p).$$

In altre parole:



La curvatura normale $K_m(p, w)$ è esattamente la curvatura in p di una curva regolare α che parametrizza intorno a p la sezione ottenuta intersecando S a un piano π perpendicolare a $T_p S$ (cioè normale).

Osserviamo che, se $S_p v = \lambda v$ con $\|v\| = 1$, allora:

$$K_m(p, v) = S_p v \cdot v = \lambda.$$

Quindi: gli autovettori di S_p sono curvature normali speciali.

Def. Gli autospazi di S_p sono detti DIREZIONI PRINCIPALI e i loro autovettori sono detti CURVATURE PRINCIPALI.

→ grazie all'osservazione fatta prima, si deduce immediatamente che le curvature principali sono delle speciali curvature normali.

Prop. Siamo v_1, v_2 base ortonormale di S_p -autovettori.

Se $w \in T_p S$ è unitario, e w forma un angolo di θ gradi rispetto a v_1 , allora:

$$k_m(p, w) = \cos^2 \theta \cdot k_1 + \sin^2 \theta \cdot k_2, \quad \text{FORMULA DI EULERLO}$$

dove $S_p v_1 = k_1 v_1$, $S_p v_2 = k_2 v_2$. curvature principali

Infatti $w = \cos(\theta) \cdot v_1 + \sin(\theta) \cdot v_2 \implies$

$$\begin{aligned} \implies k_m(p, w) &= S_p w \cdot w = \\ &= (\cos(\theta) \cdot k_1 \cdot v_1 + \sin(\theta) \cdot k_2 \cdot v_2) \cdot \\ &\quad \cdot (\cos(\theta) \cdot v_1 + \sin(\theta) \cdot v_2) = \\ &\stackrel{v_1 \perp v_2}{=} \cos^2(\theta) k_1 + \sin^2(\theta) k_2. \quad \square \end{aligned}$$

→ in particolare, dunque $\cos^2(\theta) + \sin^2(\theta) = 1$ e $\sin^2(\theta)$ è continua con $\sin^2(0) = 0$ e $\sin^2(\pi/2) = 1$, si ha che $k_m(p, w)$ varia in $[k_{\min}, k_{\max}]$ con $k_{\min} \triangleq \min\{k_1, k_2\}$ e $k_{\max} \triangleq \max\{k_1, k_2\}$.

Dunque le curvature principali ci danno la possibilità di calcolare la minima e la massima curvatura normale. Con queste possiamo studiare localmente la forma della superficie in p .

Def. Sia $S \subseteq \mathbb{R}^3$. La CURVATURA GAUSSIANA in $p \in S$ è definita come:

$$K(p) \triangleq \det(S_p) = k_1 \cdot k_2$$

curvature principali

La CURVATURA MEDIA in $p \in S$ invece è definita come:

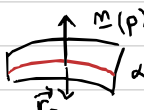
$$H(p) \triangleq \frac{1}{2} \operatorname{Tr}(S_p) = \frac{k_1 + k_2}{2}.$$

Se $K \equiv 0$ in S , S si dice PIATTA. Se $H \equiv 0$ in S , S si dice MINIMA.

→ la curvatura gaussiana rimane invariata anche prendendo $m' = -m$, mentre quella media cambia di segno.

→ il segno di $K_m(w, p)$ è dato nel seguente modo:

 • $K_m(w, p) > 0$: se il raggio di curvatura di α che parametrizza Π_N in p è parallelo positivamente a $m(p)$

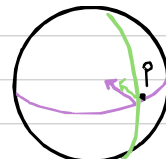
 • $K_m(w, p) < 0$: " è parallelo negativamente a $m(p)$

 • $K_m(w, p) = 0$: " è nulla.

Def. (classificazione dei p.t. sulla superficie)
Sia $S \subseteq \mathbb{R}^3$ superficie, $p \in S$.

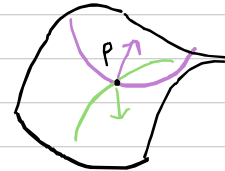
(i) p si dice **ELLITICO** se $K(p) > 0$.

\Updownarrow
tutte le curvature $\Leftrightarrow K_1, K_2$ concordi
normali sono concave e $\neq 0$
 $e \neq 0$



(ii) p si dice **IPERBOLICO** se $K(p) < 0$

\Updownarrow
 K_1, K_2 discordi
 $e \neq 0$



(iii) p si dice **PARABOLICO** se $K(p) = 0$ e

$K_1=0$ e $K_2 \neq 0 \Leftrightarrow S_p \neq 0$

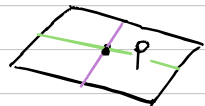
o viceversa \Leftrightarrow

Tutte le curvature normali sono ≥ 0 o ≤ 0 e \exists curvatura normale nulla



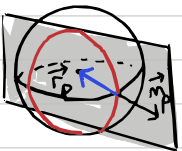
(iv) p si dice **PLANARE** se $S_p = 0 \Leftrightarrow$ ogni curvatura normale è

nulla.



Esempio (sfera) Abbiamo già calcolato esplicitamente che per la sfera $\Sigma \cong S^2$ vale $S_p = -\frac{1}{\alpha} id_{T_p S}$.

Usiamo l'intuizione geometrica per giustificare il risultato.



Ogni piano normale rispetto a $p \in \Sigma$ induce una curva regolare che è la raggio di curvatura a in p .

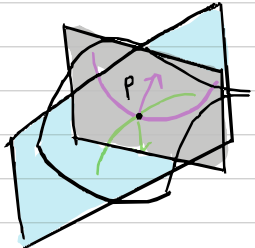
Dacché la normale è negativamente parallela al raggio vettore \vec{r}_p , si ha $K_m(p, v) = -\frac{1}{\alpha}$

$$K_1 = K_2 = -\frac{1}{\alpha} \Rightarrow S_p = -\frac{1}{\alpha} id_{T_p S}$$

H.v. Dunque

In particolare $\det(S_p) = \frac{1}{\alpha^2} > 0$, quindi ogni p.t.o è ellittico.

Esempio (paraboloide iperbolico) Sia S l'immagine di $\underline{x}: \mathbb{R}^2 \rightarrow \mathbb{R}^3$ t.c. $\underline{x}(u, v) = (u, v, u^2 - v^2)$. Calcoliamo $\text{Sp}\text{in } p \triangleq \underline{x}(0, 0)$.



Allora:

$$\left\{ \begin{array}{l} E = \| \underline{x}_U(p) \|^2 = \| (1, 0, 0) \|^2 = 1 \\ F = \underline{x}_U(p) \cdot \underline{x}_V(p) = (1, 0, 0) \cdot (0, 1, 0) = 0 \\ G = \| \underline{x}_V(p) \|^2 = \| (0, 1, 0) \|^2 = 1 \end{array} \right. \Rightarrow I_p = \text{id}$$

Una normale per p è $\underline{m} = \hat{\underline{x}_u(p)} \times \hat{\underline{x}_v(p)} = (0, 0, 1)$.
Quindi ...

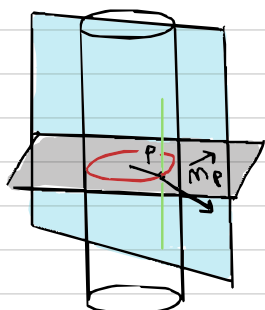
$$\left\{ \begin{array}{l} l = \underline{m} \cdot \underline{x}_{uu}(p) = (0, 0, 1) \cdot (0, 0, 2) = 2 \\ m = \underline{m} \cdot \underline{x}_{uv}(p) = (0, 0, 1) \cdot (0, 0, 0) = 0 \Rightarrow \boxed{\underline{I}_p = 2 \begin{pmatrix} 1 & -1 \\ 1 & -1 \end{pmatrix}} \\ n = \underline{m} \cdot \underline{x}_{vv}(p) = (0, 0, 1) \cdot (0, 0, -2) = -2 \end{array} \right.$$

Allora:

$$S_p = I_p^{-1} I_p = I_p \Rightarrow \begin{matrix} x_u & \text{direzione princ. con } k_1 = 2 \\ x_u & \| & \| & k_2 = -2 \end{matrix}$$

$$K(p) = K_1 \cdot K_2 = -4 < 0 \implies p \text{ è iperbolico.}$$

Esempio. (cilindro)



Consideriamo il cilindro $\Sigma = \{x^2 + y^2 = a^2\}$. Allora $\forall a \neq 0$, a è regolare per $f(x, y, z) = x^2 + y^2$
quindi Σ è superficie con $\underline{m}(x, y, z) =$
 $= \nabla_p f = \frac{1}{a} (x, y, 0)$.

$$\text{Dunque } (\underline{m} \circ \alpha)(x) = \frac{1}{a} \pi_{xy}(\alpha(x)) \rightarrow J_p \pi_{xy} =$$

$$\Rightarrow S_p v = - Dv \underline{m}(p) = - (\underline{m} \circ \alpha_v)'(0) = = \begin{pmatrix} 1 & 0 & 0 \\ 0 & 1 & 0 \\ 0 & 0 & 0 \end{pmatrix}$$

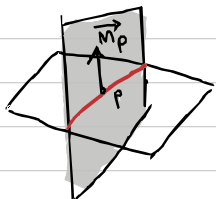
$$= - \frac{1}{a} (\pi_{xy} \circ \alpha_v)'(0) = - \frac{1}{a} \begin{pmatrix} 1 & 1 & 0 \end{pmatrix} v.$$

Osserviamo che e_3 appartiene a ogni $T_p S$ olacché $e_3 \cdot \nabla_p f = 0$,
dunque $S_p e_3 = 0 \Rightarrow e_3$ dir. princ. con curv. 0 $\forall p$.

Se $p = (x_0, y_0, z_0)$, allora $\underline{m}_p = \frac{1}{a} (y_0, -x_0, 0) \in T_p S$ ($\underline{m}_p \cdot \nabla_p f = 0$)
 $\rightarrow S_p \underline{m}_p = - \frac{1}{a} \underline{m}_p \Rightarrow \underline{m}_p$ dir. princ. con curv. $-\frac{1}{a}$ in p .

Dunque $K(p) = 0$, ma $S_p \neq 0 \Rightarrow p$ parabolico $\forall p \in S$.

Esempio (piano) Sia $\pi = \{\underline{m} \cdot x = d\}$ con $\underline{m} \neq 0$ e $\|\underline{m}\| = 1$. Allora
è sempre regolare per $[x \mapsto \underline{m} \cdot x]$ e una normale
di π è proprio \underline{m} vettore, in ogni punto.



Quindi $S_p w = (\underline{m} \circ \alpha)'(0) = 0 \quad \forall$ q.s. curva d
compatibile scelta. Dunque ogni p.t.

di un piano è planare.

* L'esercizio si può svolgere anche parametrizzando Σ
come $\underline{x}(u, v) = (a \cos(u), a \sin(u), v)$. [affissato]

Esercizio (elioide) Consideriamo $\underline{x}(u,v) = (u \cos(v), u \sin(v), bv)$ con $b > 0$ fissato.

Allora:

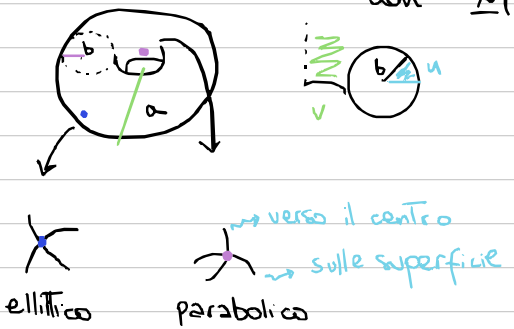
$$\begin{cases} \underline{x}_u = (\cos(v), \sin(v), 0) \\ \underline{x}_v = (-u \sin(v), u \cos(v), b) \end{cases} \Rightarrow I = \begin{pmatrix} 1 & 0 \\ 0 & \sqrt{u^2+b^2} \end{pmatrix}$$

$$\begin{cases} \vec{n} = \underline{x}_u \times \underline{x}_v = \frac{1}{\sqrt{u^2+b^2}} (b \sin(v), -b \cos(v), u) \\ \underline{x}_{uv} = (-\sin(v), \cos(v), 0) \end{cases} \Rightarrow$$

$$\Rightarrow \begin{cases} l = \vec{n} \cdot \underline{x}_{uu} = 0 \\ m = \vec{n} \cdot \underline{x}_{uv} = -b / \sqrt{u^2+b^2} \\ n = \vec{n} \cdot \underline{x}_{vv} = 0 \end{cases} \Rightarrow II = -\frac{b}{\sqrt{u^2+b^2}} \begin{pmatrix} 0 & 1 \\ 1 & 0 \end{pmatrix}$$

Dunque $Sp = I^{-1} II \rightarrow k(p) = \sqrt{u^2+b^2} \cdot \frac{-b}{\sqrt{u^2+b^2}} = -b < 0$,
quindi ogni punto è iperbolico.

Esercizio (Toro) Consideriamo il Toro $T(a,b)$, che parametrizziamo con $\underline{x}(u,v) = ((a+b \cos(u)) \cos(v), (a+b \cos(u)) \sin(v), b \sin(u))$



Allora:

$$\begin{cases} \underline{x}_u = (-b \sin(u) \cos(v), -b \sin(u) \sin(v), b \cos(u)) \\ \underline{x}_v = (- (a+b \cos(u)) \sin(v), (a+b \cos(u)) \cos(v), 0) \end{cases}$$

da cui:

$$I = \begin{pmatrix} b^2 & 0 \\ 0 & (a+b \cos(u))^2 \end{pmatrix}$$

$$\vec{n} = \underline{x}_u \times \underline{x}_v = -(\cos(u) \cos(v), \cos(u) \sin(v), \sin(u))$$

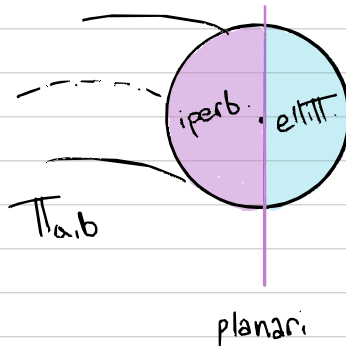
Da cui:

$$\boxed{\mathbb{II} = \begin{pmatrix} b & 0 \\ 0 & (a+b\cos(u))\cos(u) \end{pmatrix}}$$

Quindi:

$$K(p) = \det(S_p) = \det(I^{-1}\mathbb{II}) =$$
$$= \frac{\cos(u)}{b(a+b\cos(u))},$$

il ω_i segue dip. solo da $\cos(u)$! Dunque:



Esercizio. Dimostrare che $\Sigma \subseteq \mathbb{R}^3$ superficie compatta ($\neq \emptyset$) ha un p.t. ellittico.

→ l'idea è che un p.t. di norma massima di Σ sia ellittico daccché "i p.t. intorno possono solo curvare indietro".

Sia $f: \Sigma \rightarrow \mathbb{R}$ t.c. $f(p) = \|p\|^2$ e sia

p_0 un suo massimo.

$$[w \equiv \alpha'(0)]$$

Sia α una curva p.l.a. su Σ passante per p_0 in 0 . $f(\alpha(T))$ per costruzione ha massimo in $0 \implies (\dot{f} \circ \alpha)(0) = 0$, $(\ddot{f} \circ \alpha)(0) \leq 0$.

$$\bullet (\dot{f} \circ \alpha)'(0) = \nabla f(\alpha(0)) \cdot \alpha'(0) = 2 \underbrace{\alpha'(0)}_w \cdot \alpha(0) = 0 \Rightarrow$$

$\xrightarrow[w \text{ arbitr.}]{} p_0 \perp T_{p_0} S \rightsquigarrow p_0 = \|p_0\| \underline{m}(p_0).$

$$\begin{aligned}
 \bullet (\varphi \circ \alpha)''(0) &= 2 \left. \frac{d}{dt} \right|_{t=0} [\alpha'(t) \cdot \alpha'(t)] = \\
 &= 2 \left. \frac{d}{dt} \right|_{t=0} [\alpha''(t) \cdot \alpha(t) + \|\alpha'(t)\|^2] = \\
 &= 2 (\alpha''(0) \cdot \alpha(0) + \underbrace{\|\alpha'(0)\|^2}_{=1}) = \\
 &= 2 \left(\|\rho_0\| T_\alpha(0) \cdot \underbrace{\underline{m}(\rho_0)}_{M_m(\rho_0, \alpha'(0))} + 1 \right) \leq 0 \quad \text{è un massimo}
 \end{aligned}$$

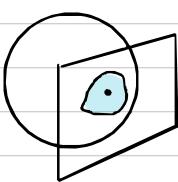
Dunque:

$$M_m(\rho_0, \alpha'(0)) \leq - \frac{1}{\|\rho_0\|} < 0 \quad \forall w, \|w\|=1,$$

in particolare $\underbrace{M_1 \cdot M_2 > 0}_{\mu(\Sigma)}$; i.e., ρ_0 è ellittico. \square

Esercizio Sia $\Sigma \subseteq \mathbb{R}^3$ superficie. Si mostri che:

(i) se $p \in \Sigma$ è ellittico, \exists intorno di p in Σ contenuto dalla stessa parte di $T_p \Sigma^a$; ovvero a tutto uno dei due semispazi indotti dal Taglio di \mathbb{R}^3 tramite $T_p \Sigma^a$.



(ii) se $p \in \Sigma$ è iperbolico, \nexists ".

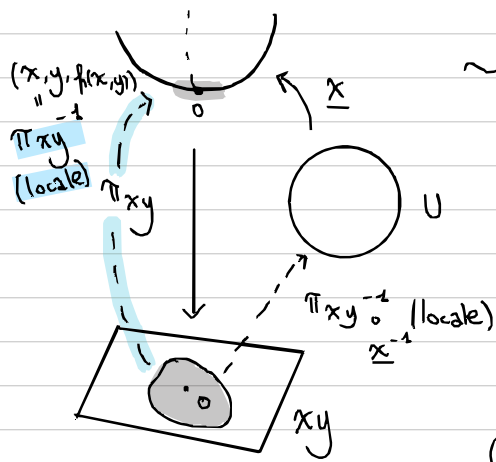


(iii) se $p \in \Sigma$ è parabolico o planare, potrebbe esistere o meno (si mostrino esempi in cui esiste ed altri in cui non esiste).

→ osserviamo innanzitutto che le rototraslazioni non modificano le curvature normali, che sono curvature di curve; in particolare rimangono invariate le curvature principali (a meno di segno).

Possiamo dunque assumere wlog $p=0 \in \Sigma$ con $T_p\Sigma = \text{Span}(e_1, e_2)$ (i.e., piano $x-y$) e dir. principali proprio e_1 e e_2 .

Sia $\underline{x}: U \rightarrow \Sigma(u)$ una par. reg. intorno a $p=0$. Allora $\langle \underline{x}_u, \underline{x}_v \rangle = T_0 \Sigma \rightsquigarrow$ l'ultima riga di $J\underline{x}$ è zero → precomp. \underline{x} con T_{xy} sì ha $J(\pi_{xy} \circ \underline{x})$ invertibile, da cui $\pi_{xy} \circ \underline{x}$ difeo. localmente. Dunque $\xrightarrow{\text{regolarità}} \underline{x}$ è loc. inn. come difeo.



→ un intorno di $0 \in \Sigma$ è grafico di $f: V \rightarrow \Sigma$ (i.e., è della forma $\{(u, v, f(u, v))\}$ intorno di C^∞ con $f(0, 0) = 0$)

Per (i) la Tesi consiste nel mostrare che localm. $f(u, v) \geq 0$ vicino a zero. ($u \leq 0$)

Consideriamo allora proprio la par. reg. $y: (u, v) \mapsto (u, v, f(u, v))$.

$$\text{Taylor} \left[f(u, v) = f(0, 0) + u f_u(0) + v f_v(0) + \frac{1}{2} (u^2 f_{uu}(0) + 2uv f_{uv}(0) + v^2 f_{vv}(0)) + o(u^2 + v^2) \right]$$

$$\begin{cases} y_u = (1, 0, f_u) \\ y_v = (0, 1, f_v) \end{cases} \xrightarrow{\text{T}_0 \Sigma \text{ è sul piano } xy} f_u(0) = f_v(0) = 0 \quad \checkmark$$

$$y_u = e_1, \quad y_v = e_2$$

$$\text{Quindi } E(0) = G(0) = 1 \quad e \quad F(0) = y_u \cdot y_v = 0 \rightsquigarrow I = \begin{pmatrix} 1 & 0 \\ 0 & 1 \end{pmatrix}$$

Una normale è $\underline{m}(0) = (0, 0, -1)$

$$\begin{cases} l(0) = y_{uu}(0) \cdot \underline{m}(0) = f_{uu}(0) \\ m(0) = y_{uv}(0) \cdot \underline{m}(0) = f_{uv}(0), \text{ quindi} \\ n(0) = y_{vv}(0) \cdot \underline{m}(0) = f_{vv}(0) \end{cases} \quad \boxed{\underline{I}} = \begin{pmatrix} f_{uu}(0) & f_{uv}(0) \\ f_{uv}(0) & f_{vv}(0) \end{pmatrix}$$

→ osserviamo che $S_0 = \underline{I}^{-1} \underline{II} = \underline{II}$.

Ricordiamo che e_1 ed e_2 sono x ipotesi dir. principali, dunque

$$f_{uu}(0) = k_1, \quad f_{vv}(0) = k_2, \quad (S_0 = \begin{pmatrix} k_1 & 0 \\ 0 & k_2 \end{pmatrix})$$

$$f_{uv}(0) = 0.$$

Pertanto $f(u,v) = \frac{1}{2} (k_1 u^2 + k_2 v^2) + o(u^2+v^2)$.

(i) se O è ellittico, allora wlog $k_2 \leq k_1 < 0$ o $0 < k_1 \leq k_2$

$$(**) \quad \frac{f(u,v)}{u^2+v^2} \leq \frac{k_2}{2} + \frac{o(u^2+v^2)}{u^2+v^2} \xrightarrow{(u,v) \rightarrow (0,0)} \frac{k_2}{2},$$

quindi loc. $f(u,v) \leq 0$ per perim. del segno

(***) analog. loc. $f(u,v) \geq 0$ "

(ii) se O è iperbolico, allora wlog $k_1 < 0 < k_2$.

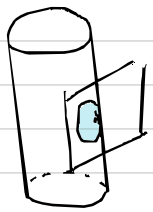
$$\bullet \quad \frac{f(u,0)}{u^2} = \frac{k_1}{2} + \frac{o(u^2)}{u^2} \xrightarrow{u \rightarrow 0} \frac{k_1}{2} < 0, \text{ quindi lungo}$$

$v=0$ è loc. ≤ 0

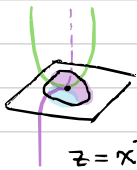
$$\bullet \quad \frac{f(0,v)}{v^2} = \frac{k_2}{2} + \frac{o(v^2)}{v^2} \xrightarrow{v \rightarrow 0} \frac{k_2}{2} > 0, \quad \text{e } u=0 \text{ è loc. } \geq 0.$$

Dunque un intorno come desiderato non può esistere.

(iii) Parabolici

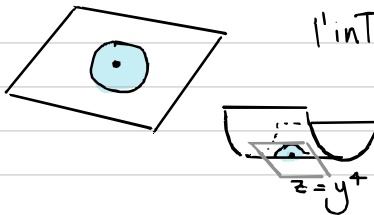


l'intorno esiste
✓

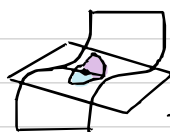


$$z = x^2 + y^3$$

Planari



l'intorno esiste
✓



$$z = y^3$$

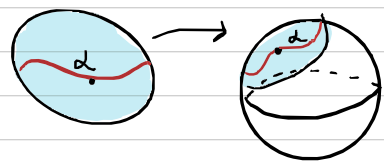
l'intorno non esiste
✓

Teorema egregium

Gauss cercò di classificare le param. \underline{x} in gradi d'lunghezza delle curve dal piano, in altre parole si chiedeva:

$$\Sigma \triangleq$$

Q. data $\underline{x}: U \rightarrow \underline{x}(U)$, quando è che $\forall \bar{\alpha}: [a,b] \rightarrow U$
si ha $\lambda(\bar{\alpha}) = \lambda(\underline{x} \circ \bar{\alpha})$?
 $\bar{\alpha} \triangleq$



$$\lambda(\alpha) = \lambda(\bar{\alpha}) \quad \forall \alpha \Rightarrow$$

$$\Rightarrow \int_a^t \|\bar{\alpha}'(u)\| du = \int_a^t \|\alpha'(u)\| du \quad \forall t \in [a,b]$$

$$\frac{d}{dt}$$

$$\Rightarrow \|\bar{\alpha}'(t)\| = \|\alpha'(t)\| \quad \forall t \in [a,b]. \quad (\star\star\star)$$

Sia $\bar{\alpha}(t) = (u(t), v(t))$. Allora:

$$\alpha'(t) = u'(t) \underline{x}_u(u(t), v(t)) + v'(t) \underline{x}_v(u(t), v(t)) \in T_{\alpha(t)} \Sigma$$

Per $(\star\star\star)$. Siccome $(u'(t), v'(t))$ è arbitrario, si ha che —
fissato $p = \alpha(t_0)$ con $t_0 \in (a,b)$ — l'app. $\Psi: (a,b) \mapsto$
 $a \underline{x}_u(p) + b \underline{x}_v(p)$ è un'isometria da (\mathbb{R}^2, \cdot) a $(T_p \Sigma, I_p)$.

Dunque $I_p = \begin{pmatrix} E & F \\ F & G \end{pmatrix} = I_2 \Rightarrow E = G = 1, F = 0$.

(Il viceversa si mostra analogamente).

Prop. \underline{x} conserva le lunghezze delle curve sse $E = G = 1$ e $F = 0$. A p.t.o.

Diciamo in qst. caso che \underline{x} e' un' **ISOMETRIA LOCALE** da \mathbb{R}^2 a Σ .

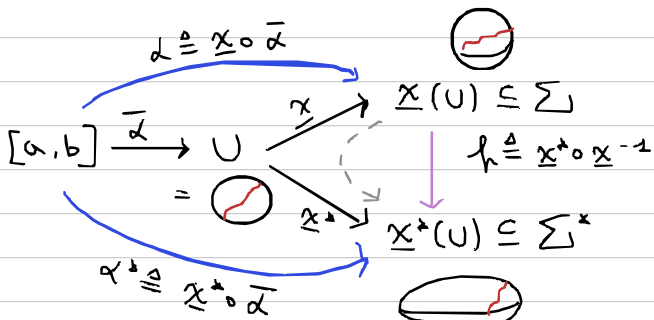
~ quindi il prob. di Gauss si riduceva a studiare le eventuali iso. loc. tra \mathbb{R}^2 e la sfera.

In generale:

Def. Siano $\Sigma, \Sigma^* \subseteq \mathbb{R}^3$ superfici con $p \in \Sigma, p^* \in \Sigma^*$. Si dice che Σ e Σ^* sono **loc. ISOMETRICHE** intorno a p e p^* se \exists par. reg. \underline{x} per p , \underline{x}^* per p^* t.c. $x, x^*: U \rightarrow \Sigma, \Sigma^*$, $E = E^*$, $F = F^*$, $G = G^*$. Diciamo loc. isom. stesso dominio se lo sono ovunque in corrispondenza.

tramite le param!

L'ugualj. dei Triedri (E, F, G) suggerisce proprio che i piani Tangenti sono isometrici. In effetti, si possano trasportare curve isometricamente da Σ a Σ^* o viceversa.



Mostriamo che in effetti $\ell(\alpha) = \ell(\alpha^*) = \ell(f \circ \alpha)$ con $f = x^* \circ x^{-1}$

E' suff. mostrare che le velocità di α e di α^* coincidono A t.

Sia $\alpha(t) = (u(t), v(t))$. Allora $\alpha'(t) = u'(t) \underline{x}_u(\alpha(t)) + v'(t) \underline{x}_v(\alpha(t))$
 $\sim \|\alpha'(t)\|^2 = (u'(t) v'(t))^\top I_{\alpha(t)} (u'(t) v'(t))^\top$.

Analogamente $\|\alpha^*(t)\|^2 = \dots$ " $I_{\alpha^*(t)}$ " T. Poiché $I_{\alpha(t)} = I_{\alpha^*(t)}$, si deduce che in effetti le vel. coincidono.

→ le rototrasl. inducono sup. localm. isometriche!

F Teorema (egregium di Gauss) Sia $\Sigma \subseteq \mathbb{R}^3$ superficie, $\underline{x}: U \rightarrow \Sigma$ par. reg. di Σ . Allora $K(p)$ è esprimibile in funz. di $E(p), F(p), G(p)$, $E'(p), F'(p)$ e $G'(p)$.

L Corollario. Superf. localm. isometriche hanno stessa curvatura gaussiana nei p.t. corrispettivi.
(stess: E, F, G)

C Corollario. \mathbb{R}^2 e la sfera sono loc. isometriche.

$$K_{\mathbb{R}^2}(p) = 0 \neq \frac{1}{a^2} = K_{S_a^2(0)}(p^*)$$

□

Dimostrazione del Teorema egregium Ricordiamo che $\underline{x}_u, \underline{x}_v$ e \underline{m} formano in ogni p.t. una base di \mathbb{R}^3 . Dunque $\underline{x}_{uu}, \underline{x}_{uv}$ e \underline{x}_{vv} devono potersi esprimere come comb. lineare come segue:

$$\left\{ \begin{array}{l} \underline{x}_{uu} = \Gamma_{uu}^u \underline{x}_u + \Gamma_{uu}^v \underline{x}_v + \overset{\text{M. } \underline{x}_{uu}}{\Gamma_{uu}^m \underline{m}} \\ \underline{x}_{uv} = \Gamma_{uv}^u \underline{x}_u + \Gamma_{uv}^v \underline{x}_v + \overset{\text{M. } \underline{x}_{uv}}{\Gamma_{uv}^m \underline{m}} \\ \underline{x}_{vv} = \Gamma_{vv}^u \underline{x}_u + \Gamma_{vv}^v \underline{x}_v + \overset{\text{M. } \underline{x}_{vv}}{\Gamma_{vv}^m \underline{m}} \end{array} \right. \quad \begin{array}{l} \text{I } \Gamma_{ij}^k \text{ sono} \\ \text{detti} \end{array} \quad \text{SIMBOLI DI CHRISTOFFEL}$$

Osserviamo che:

$$\left\{ \begin{array}{l} \underline{x}_u \cdot \underline{x}_{uu} = \Gamma_{uu}^u \|\underline{x}_u\|^2 + \Gamma_{uu}^v \underline{x}_u \cdot \underline{x}_v = E \Gamma_{uu}^u + F \Gamma_{uu}^v \\ \underline{x}_v \cdot \underline{x}_{uu} = \Gamma_{uu}^u \underline{x}_u \cdot \underline{x}_v + \Gamma_{uu}^v \|\underline{x}_v\|^2 = F \Gamma_{uu}^u + G \Gamma_{uu}^v \end{array} \right.$$

$$\leadsto \begin{pmatrix} \underline{x}_u \cdot \underline{x}_{uu} \\ \underline{x}_v \cdot \underline{x}_{uu} \end{pmatrix} = \underbrace{\mathbf{I}}_{\begin{pmatrix} E & F \\ F & G \end{pmatrix}} \begin{pmatrix} \Gamma_{uu}^u \\ \Gamma_{uu}^v \end{pmatrix} \quad (\star)$$

Inoltre $(\underline{x}_u \cdot \underline{x}_u)_u = 2 \underline{x}_u \cdot \underline{x}_{uu} \rightarrow \underline{x}_u \cdot \underline{x}_{uu} = \frac{(\underline{x}_u \cdot \underline{x}_u)_u}{2}$, da cui:

$$\underline{x}_u \cdot \underline{x}_{uu} = \frac{E_u}{2} \quad (\star\star)$$

Osserviamo che $(\underline{x}_u \cdot \underline{x}_v)_u = (\underline{x}_{uu} \cdot \underline{x}_v) + (\underline{x}_u \cdot \underline{x}_{uv})$, da cui:

$$\underline{x}_v \cdot \underline{x}_{uu} = F_u - E_v/2 \quad (\star\star\star)$$

Combinando (\star) , $(\star\star)$ e $(\star\star\star)$ si ottiene:

$$\begin{pmatrix} \Gamma_{uu}^u \\ \Gamma_{uu}^v \end{pmatrix} = I^{-1} \begin{pmatrix} E_u/2 \\ F_u - E_v/2 \end{pmatrix},$$

e quindi Γ_{uu}^u , Γ_{uu}^v sono esprimibili in funzione di E_u, E_v e F_u . Analogamente si mostra che tutti i simboli di Christoffel si esprimono in funz. di derivate di E, F e G .

L'osservazione chiave è la seguente:

$$\begin{aligned} S &= I^{-1} II \\ &\downarrow \\ \begin{pmatrix} a & c \\ b & d \end{pmatrix} &= \underbrace{\frac{1}{EG-F^2} \begin{pmatrix} G & -F \\ -F & E \end{pmatrix}}_{(E \ F)^{-1}} \begin{pmatrix} l & m \\ m & n \end{pmatrix} \Rightarrow ld - mb = \frac{1}{EF-G^2} (l(-mF+mE) \\ &\quad - mn(-lF+mE)) = \end{aligned}$$

$$= \frac{1}{EG-F^2} (-lmF + lmE + lmF - mn^2E) =$$

$$= E \frac{lm - m^2}{EG - F^2} = E K.$$

Dunque, mostrando che $ld - mb$ è esprimibile in funz. di E, F, G e derivate, la

Tesi segue immediatamente. In part., poiché sono espr. i simboli di Christoffel, è suff. mostrare che $ld - mb$ si espr. con questi simboli.

$$\begin{aligned} \bullet \underline{x}_{uvv} &= (\Gamma_{uu}^u \underline{x}_u + \Gamma_{uu}^v \underline{x}_v + l \underline{m})_v = \\ &= \dots + (\Gamma_{uu}^u \Gamma_{uv}^v + (\Gamma_{uu}^v)_v - ld) \underline{x}_v + \dots \end{aligned}$$

word. in \underline{x}_v
di \underline{x}_{uv}

$\underline{m}_v = -S(\underline{x}_v) = -c\underline{x}_u - d\underline{x}_v$

$$\begin{aligned} \bullet \underline{x}_{uvv} &= (\Gamma_{uv}^u \underline{x}_u + \Gamma_{uv}^v \underline{x}_v + m \underline{m})_u = \\ &= \dots + (\Gamma_{uv}^u \Gamma_{uu}^v + (\Gamma_{uv}^v)_u - mb) \underline{x}_u + \dots \end{aligned}$$

word. in \underline{x}_u
di \underline{x}_{uu}

$\underline{m}_u = -S(\underline{x}_u) = -a\underline{x}_u - b\underline{x}_v$

Dacché $\underline{x}_{uvv} = \underline{x}_{vvu}$ per Schwarz, e $\{\underline{x}_u, \underline{x}_v, \underline{m}\}$ è una base di \mathbb{R}^3 , allora:

$$\begin{aligned} ld - mb &= \Gamma_{uu}^u \Gamma_{uv}^v + (\Gamma_{uu}^v)_v - \Gamma_{uv}^u \Gamma_{uu}^v + \\ &\quad - (\Gamma_{uv}^v)_u, \end{aligned}$$

da cui la Tesi. □

→ ricordiamo che un cilindro è loc. isom. al piano, dacché ha $E \equiv G \equiv 1$ e $F \equiv 0$.

→ un elicoidale ($K < 0$) non può essere loc. iso. al piano ($K = 0$) né alla sfera ($K > 0$).

Trasporto parallelo

(TANGENTE)

Def. $\Sigma \subseteq \mathbb{R}^3$ superficie. Un CAMPO VETTORIALE su Σ è una mappa C^∞ $X: \Sigma \rightarrow \mathbb{R}^3$ T.c. $X(p) \in T_p \Sigma \quad \forall p \in \Sigma$.

Def. Dato un campo vettoriale $X: \Sigma \rightarrow \mathbb{R}^3$, $p \in \Sigma$, $v \in T_p \Sigma$, si definisce:

non dip. dalla scelta di $m(p)$

$$\nabla_v X(p) \triangleq \pi_{T_p \Sigma} (\underbrace{D_v X(p)}_{\substack{\text{deriv.} \\ \text{direz.}}}) = D_v X(p) - (D_v X(p) \cdot m(p)) m(p) \in T_p \Sigma,$$

come la DERIVATA COVARIANTE di X in direzione v sul p.t. $p \in \Sigma$.

→ osserviamo che $\nabla_v X(p)$ è ben def., e anzi che è suff. che X sia def. lungo una curva α passante in 0 per p con $\alpha'(0) = v$.